

تحلیل پایداری شیروانی های قوس دار در پلان به روش آنالیز حدی

نوید گنجیانⁱ؛ فرج الله عسکریⁱⁱ؛ اورنگ فرزانهⁱⁱⁱ

چکیده

در این مقاله، الگوریتمی برای بررسی پایداری شیروانی های قوس دار در پلان پیشنهاد گردیده است. این الگوریتم، با مدل کردن مکانیسم سه بعدی لغزش به شکل مجموعه ای از گوه های صلب دارای حرکت انتقالی و بهینه سازی آن، حداقل ضریب ایمنی پایداری شیروانی های قوس دار در پلان و یا ظرفیت برابری پی های واقع بر اینگونه شیروانی ها را محاسبه می کند. روش تحلیل حدی مرز بالاست که در آن جایگاه جواب های حاصل از الگوریتم نسبت به حل درست مسئله کاملاً مشخص است. پس از مقایسه نتایج الگوریتم پیشنهادی با نتایج دیگر محققان، تاثیر قوس دار بودن شیروانی بر روی پایداری آن بررسی شده است. نتایج به دست آمده حاکی از آن است که ضریب اطمینان پایداری شیروانی های قوس دار در پلان تحت اثر وزن توده خاک، بیش از ضریب اطمینان حاصل از تحلیل های دوبعدی است. در پایان، نمودارهای بدون بعد ضرایب پایداری شیروانی های با زوایای شب و شعاع انحنای مختلف، واقع در انواع خاکها، ارائه شده است.

کلمات کلیدی

تحلیل سه بعدی پایداری، شیروانی خاکی قوس دار در پلان، روش آنالیز حدی مرز بالا

Stability Analysis of Convex Slopes in Plan View Based on Limit Analysis Approach

N. Ganjian; F. Askari; O. Farzaneh

ABSTRACT

This paper proposes a rigorous method of three-dimensional slope stability analysis for convex slopes in plan view based on the upper-bound theorem of limit analysis approach and discusses about the effect of plan curvature on the stability of convex slopes. A rigid-block 3-D translational collapse mechanism is considered, with energy dissipation taking place along planar velocity discontinuities. This mechanism is optimized to obtain the minimum factor of safety for stability of the slope or to obtain the bearing capacity of rectangular foundations located on such slopes. Based on comparisons with the known solutions, the method was generally found to be accurate in predicting the stability of convex slopes. The results show that the stability of convex slopes in plan view is more than the stability of slopes obtained by 2D analysis. Dimensionless diagrams for various parameters are also presented.

KEYWORDS

3-D stability analysis, convex slopes in plan view, Upper bound theorem, Limit Analysis.

ⁱ دانشجوی دکتری دانشکده عمران پردیس های فنی دانشگاه تهران، گرایش خاک و پی: nganjian@ut.ac.ir

ⁱⁱ استادیار پژوهشگاه بین المللی زلزله شناسی و مهندسی زلزله: Askari@jiees.ir

ⁱⁱⁱ استادیار دانشکده عمران پردیس های فنی دانشگاه تهران: ofarzane@ut.ac.ir

خاک میسر است و تغییرشکل های قبل از گسیختگی را می‌توان محاسبه کرد، لیکن حجم محاسبات بیشتر بوده و بررسی تأثیر پارامترها در محاسبات وقت کم است.

روشی که در تحقیق حاضر استفاده شده است، روش تحلیل حدی مرز بالا (Upper-Bound) است. این روش که از نوع روش های گروه «الف» است، بر پایه قضایای نظری دقیقی استوار شده و در پنج دهه اخیر توسعه یافته است.

کاربرد روش آنالیز حدی مرز بالا در تحلیل سه بعدی پایداری شیروانی های خاکی را نخستین بار میخالفسکی در سال ۱۳۷۸ بررسی نمود [۷]. فرزانه و عسکری در سال ۱۹۸۹ با توسعه و اصلاح روش میخالفسکی، پاسخ های وی را بهبود بخشیدند. این اصلاح در چارچوب یک رساله دکتری در دانشکده فنی دانشگاه تهران صورت پذیرفت و در جریان آن نرم افزاری تحت عنوان TRASS تهیه شد [۱]. در ادامه، نخعی در سال ۱۳۸۱ قابلیت اعمال اثر فشار آب حفره ای خاک را به نرم افزار TRASS افزود [۲]. در تحقیق حاضر، الگوریتم مورد استفاده در برنامه TRASS برای تحلیل پایداری شیروانی های با قوس محدب در پلان تعیین داده شده است.

در این مقاله، ابتدا اصول روش مرز بالای تحلیل حدی مرور گردیده است. سپس مکانیسم و الگوریتم پیشنهادی برای تحلیل سه بعدی پایداری شیروانی های قوس دار در پلان تشریح و نتایج حاصل از کاربرد الگوریتم ارائه شده در این مقاله با نتایج دیگر محققان مقایسه شده است. در بخش اصلی مقاله، نمودارهایی برای بررسی اثر هندسه شیروانی بر پایداری آن ارائه شده است.

۲- مبانی روش تحلیل حدی

غالباً یافتن مقدار بارحدی در مسائل پایداری با حل همزمان معادلات تعادل، معادلات رفتاری و معادلات سازگاری دشوار بوده و به همین دلیل، وجود روش های تقریبی برای تخمین بار حدی در اینگونه مسائل ضرورت یافته است. این روش ها به روش های حدی موسوم هستند و روش تحلیل حدی از دقیق ترین این گروه روش هاست. این روش، که در قالب "قضایای حدی" مطرح شده، تعیین اصل "کار خمیری حداقل" است. اصل مذبور را هیل (Hill) در سال ۱۹۴۸ مطرح کرد و پس از وی دراکر (Drucker)، گرینبرگ (Greenberg) و پراگر (Prager) در سال ۱۹۵۲ با تعیین اصل هیل، قضایای حدی را ارائه کردند. فرضیات استفاده شده در روش تحلیل حدی عبارتند از [۸] :

الف- رفتار مصالح در حالت حدی به صورت خمیری کامل است.

ب- حالت حدی با تابعی محدب به معادله $0 = F(\sigma)$ ، که تابع

وجود موارد فراوان شیروانی های طبیعی و مصنوعی قوس دار در پلان، بررسی روشن مناسب برای تحلیل پایداری اینگونه شیروانی ها را ایجاب می کند. تحلیل پایداری شیروانی های خاکی معمولاً با فرض شرایط کرش مسطح و به صورت دو بعدی انجام می گیرد، لیکن در حالات زیر لزوم تحلیل سه بعدی پایداری کاملاً محسوس است و فرض دو بعدی بودن مسئله ممکن است خطای زیادی را در پی داشته باشد [۱] :

الف- شیروانی های تحت اثر بارهای متربکز
ب- شیروانی های با نسبت طول به ارتفاع کم
ج- شیروانی های به شکل منحنی در پلان (خاکریز های واقع در قوس راه ها، معادن روبان، گودبرداری ها)
هدف این مقاله، تحلیل سه بعدی پایداری شیروانی های قوس دار در پلان (شیروانی های محدب یا دماغه ها) تحت اثر نیروهای ناشی از وزن توده خاک و سربار شالولد واقع در بالادست شبیه، و بررسی اثر قوس دار بودن شیروانی بر روی پایداری آن است.

اثر قوس دار بودن شیروانی بر پایداری آن از سوی برخی محققان بررسی شده است، لیکن روشی جامع و کاربردی، که بتواند این مسئله را در حالت کلی تحلیل کند، مشاهده نشده است. در طول چهار دهه گذشته آذره (۱۹۶۲)، دنو (۱۹۶۸)، پیتو و جنینگ (۱۹۷۰)، گیگر (۱۹۷۴)، گیگر و کریزک (۱۹۷۵)، کیم و براون (۱۹۷۷) و لشینسکی و بیکر (۱۹۸۷) تحقیقاتی در این زمینه انجام داده اند که اغلب این تحقیقات برای موارد خاص صورت گرفته است. به عنوان مثال، گیگر و کریزک پایداری شیروانی های گوشهدار قائم را تحت اثر بار متربکز استاتیکی و وزن خاک بررسی کرده اند [۴]، [۵] لشینسکی و بیکر نیز پایداری توده های مخروطی خاک تحت اثر وزن آن را بررسی کرده اند [۶].

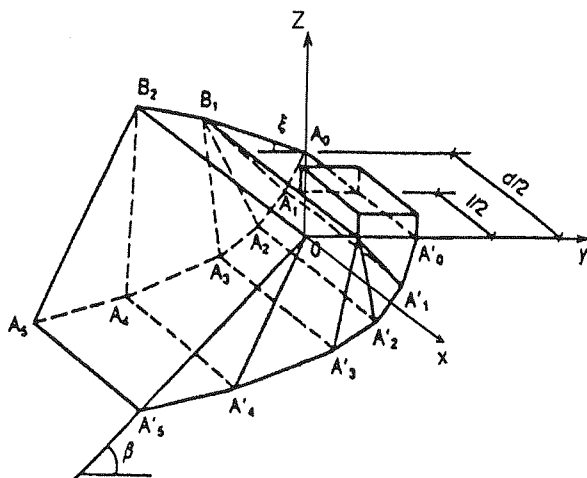
برای بررسی پایداری شیروانی ها، روش های گوناگونی مطرح شده است که عمدتاً در یکی از دو گروه ذیل جای دارند:

الف- روش های حدی مبتنی بر رفتار صلب - خمیری خاک
ب- روش های عددی مبتنی بر رفتار ارتجاعی - خمیری خاک

روش های حدی، شامل روش تعادل حدی، روش خطوط مشخصه و روش آنالیز حدی، بر مدل نسبتاً ساده ای از رفتار خاک استوارند و مزیت عده آنها یافتن راه حل های بسته و عام در مسائل کاربردی است. با این روش ها بررسی تأثیر پارامترهای مختلف مقاومت خاک و هندسه زمین به سهولت انجام پذیر است. در مقابل، در روش های تحلیل عددی مانند روش اجزای محدود، استفاده از روابط رفتاری پیچیده تر برای

آن برنامه می‌باشد، ابتدا فرمول بندی و مکانیسم استفاده شده در برنامه مذکور تشریح و سپس به تغییرات ایجاد شده برای تعیین آن در این تحقیق اشاره می‌شود.

مکانیسم استفاده شده در برنامه TRASS در شکل (۱) نشان داده شده است [۹]. این مکانیسم متشکل از بلوك‌های پنج و یا شش وجهی با وجوده مستوی است که صرفاً حرکت انتقالی دارند و تعداد آنها را می‌توان تغییر داد. در شروع محاسبات، کاربر مکانیسم فرضی را تعریف می‌کند. سپس میدان سرعت نظیر این مکانیسم و ضریب اطمینان پایداری و یا ظرفیت باربری شالوده به وسیله برنامه محاسبه می‌شود و در مراحل بعدی به روش سعی و خطا، مکانیسم بهینه به دست می‌آید.



شکل (۱): مکانیسم گسیختگی استفاده شده در برنامه [۹] TRASS
فرمول بندی این برنامه براساس قضیه مرز بالای روش آنالیز حدی پایه ریزی شده است. کاربرد قضیه مرز بالا نیازمند محاسبه کار نیروهای داخلی (\dot{D}) و کار نیروهای خارجی شامل کار ناشی از وزن توده خاک (\dot{W}_g) و کار نیروهای وارد بر شالوده (\dot{W}_T) است. برای استخراج روابط، شکل (۲) بررسی می‌شود. در این شکل، مقطع شبیه که با ۴ بلوك مدل گردیده نشان داده شده است. کار نیروهای داخلی از رابطه (۲) به دست می‌آید:

$$\dot{D} = c \cdot \cos \Phi \cdot \sum_{k=1}^n [l_k v_k + t_k [v]_k] \quad (2)$$

در این معادله، l_k مساحت دو سطح کناری و سطح زیرین بلوك k ، t_k مساحت سطح ناپیوستگی سرعت بین بلوك k و $k-1$ ، v_k سرعت مطلق بلوك k ، $[v]_k$ سرعت نسبی بین بلوك های k و $k-1$ و Φ و c به ترتیب زاویه اصطکاک داخلی و ضریب چسبندگی خاک است.

تسلیم (Yield Function) نام دارد، بیان می‌شود. نمایش این تابع در فضای تنش‌های اصلی به سطح تسلیم موسوم است. ج- رفتار خمیری مصالح تابع قانون جریان وابسته (Associated Flow Rule) است. به عبارت دیگر:

$$\frac{\partial F(\sigma_{ij})}{\partial \sigma_{ij}} = \lambda \quad ; \quad \lambda \geq 0 \quad (1)$$

در رابطه فوق σ_{ij}^P تانسور نمو تغییرشکل نسبی (کرنش) خمیری و σ_{ij} تانسور تنش و λ تابعی اسکالر و غیر منفی است. در قضیه مرز پایین، مسئله با تعریف میدان‌های تنش فرضی حل می‌شود. میدان تنش فرضی استفاده شده باید شرایط ذیل را ارضاء کند:

الف - معادلات تعادل

ب- شرایط مرزی تنش

ج- عدم خروج بردار تنش از فضای تنش‌های محدود به سطح تسلیم

بر اساس این قضیه، تحت هر میدان تنش مفروضی که شرایط «الف» تا «ج» ارضا شود، جریان خمیری آزاد به وقوع نخواهد پیوست. به عبارت دیگر، بار خارجی نظیر میدان تنش مذبور از بار گسیختگی واقعی بیشتر نخواهد بود.

در روش مرز پایین، معادلات سازگاری سرعت کرنش‌ها (شرایط سینماتیکی) درنظر گرفته نمی‌شود. از سوی دیگر در روش مرز بالا، مسائل با درنظر گرفتن شرایط سینماتیکی حل می‌شوند. در این روش با درنظر گرفتن یک میدان سرعت فرضی و مساوی قراردادن نموکار نیروهای خارجی و داخلی، بارگسیختگی محاسبه می‌شود. براساس قضیه مرز بالا، اگر میدان سرعت در نظر گرفته شده شرایط مرزی سرعت و شرایط سازگاری را ارضاء کند، بارمحاسبه شده بیش از بارگسیختگی واقعی خواهد بود.

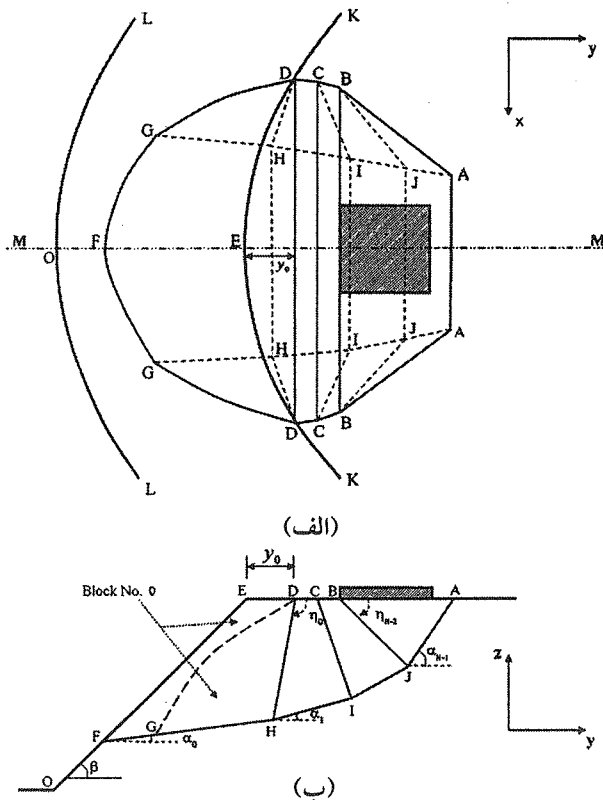
با انتخاب میدان‌های مناسب تنش و سرعت و نزدیک کردن جواب‌های حاصل از دو روش می‌توان محدودهای را، که بارگسیختگی واقعی در آن قرار می‌گیرد، کوچک تر کرد. در مسائلی که جواب دو روش یکسان باشد، جواب درست به دست آمده است. بدین ترتیب در این روش جایگاه هر جواب نسبت به پاسخ درست مسأله و اضافی یا نقصانی بودن تقریب کاملاً مشخص است. مزیت اصلی روش تحلیل حدی نیز در همین نکته است.

۳- فرمول بندی برنامه استفاده شده

از آنجا که الگوریتم تدوین شده در این تحقیق، تا حد زیادی مشابه با الگوریتم برنامه TRASS بوده است و در واقع، تعیین

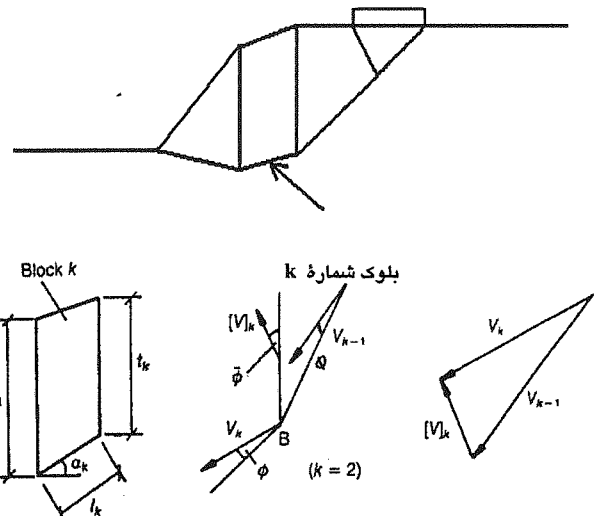
۴- الگوریتم تدوین شده

با توجه به هندسه شیروانی‌های قوس دار در پلان، تشکیل مکانیسم‌های گسیختگی قابل قبول مستلزم ایجاد تغییرات اساسی در بخش‌هایی از الگوریتم اولیه برنامه TRASS بوده است. شیروانی قوس دار در این تحقیق به شکل بخشی از یک مخروط ناقص در نظر گرفته شده است. مثالی از مقطع و پلان یک شیروانی قوس دار در پلان و مکانیسم گسیختگی استفاده شده در این مقاله برای تحلیل پایداری اینگونه شیروانی‌ها در شکل (۳) نشان داده شده است.



شکل (۳): جزئیات مکانیسم استفاده شده برای مدل کردن شیروانی‌های قوس دار: (الف) پلان، (ب) مقطع

چنانچه مکانیسم گسیختگی مطابق با روال قبلی برنامه TRASS تشکیل شود، در حالت کلی سه نوع بلوك خواهیم داشت. بعضی از بلوك‌های تزدیک به سطح شیروانی فاقد صفحه جانبی در داخل خاک هستند. در برخی دیگر از بلوك‌ها، بخشی از صفحات جانبی بلوك‌ها در داخل و بخشی در خارج از حجم شیروانی واقع می‌شود. در نتیجه، محاسبه بخشی از مساحت سطوح جانبی واقع در داخل خاک و سطح کف این بلوك‌ها و نیز حجم آنها ضروری است. سایر بلوك‌ها نیز، که در فاصله بیشتری از دامنه شیروانی قرار دارند، به صورت پنج و یا شش وجهی مستوی باقی مانده و محاسبات مربوط به آنها طبق روال قبلی برنامه امکان‌پذیر است.



شکل (۴): نمایش پارامترهای استفاده شده در روابط

یادآوری می‌شود که قانون جریان وابسته (رابطه ۱) بدین معناست که در کلیه سطوح نایپوستگی سرعت، حرکت دو بخش طرفین سطوح نسبت به یکدیگر اتساعی است و زاویه اتساع برابر با زاویه اصطکاک داخلی خاک (ϕ) می‌باشد. جزئیات کامل مربوط به نحوه محاسبه میدان‌های سرعت در مرجع [۱] آمده است. کار نیروهای خارجی از روابط ذیل به دست می‌آید:

$$\dot{W}_g = \sum_{k=1}^n G_k v_k \sin(\alpha_k - \Phi) \quad (۳)$$

$$\dot{W}_T = T \cdot V_0 \quad (۴)$$

در عبارات فوق، G_k وزن بلوك k ، T بار قائم واردہ برد پی و V_0 مولفه قائم بردار سرعت بلوك زیر پی است. مقدار ضریب اطمینان به صورت رابطه (۵) تعریف می‌شود:

$$F = \frac{\tan \Phi}{\tan \Phi_d} = \frac{c}{c_d} \quad (۵)$$

Φ_d و c_d به ترتیب ضریب چسبندگی کاهش یافته و زاویه اصطکاک داخلی کاهش یافته هستند.

با توجه به قضیه مرز بالا، از مساوی قرار دادن کار نیروهای داخلی و خارجی و جایگذاری c و Φ بر حسب c_d و Φ_d در رابطه‌ای که از این تساوی به دست می‌آید، مقدار ضریب اطمینان از رابطه ذیل محاسبه می‌شود:

$$F = \frac{c_d \cdot \cos \Phi_d \cdot \sum_{k=1}^n [l_k v_k + t_k [v]_k]}{\sum_{k=1}^n \{v_k \cdot [G_k \cdot \sin(\alpha_k - \Phi_d)]\} + T \cdot V_0} \quad (۶)$$

مختصات x تمامی گره ها نیز محاسبه می شوند. این روند از پایین دست شیروانی شروع و به سمت شالوده ادامه می یابد. بلوکها در این روش می توانند در هر طرف تنها یک سطح جانبی داشته باشند.

۴-۲- نحوه محاسبه احجام و مساحت ها

احجام و مساحت های مربوط به کلیه بلوک ها به استثنای بلوک اول با توجه به پنج و یا شش وجهی بودن آنها مطابق روند استفاده شده در برنامه TRASS محاسبه می شوند. برای محاسبه حجم و سطوح مربوط به بلوک اول، از روش انگرال گیری عددی استفاده می شود. به منظور استفاده از قابلیت های فعلی برنامه TRASS در اعمال تغییرات ضربی چسبندگی و نیز شتاب زلزله با عمق، محاسبه حجم و سطوح مربوط به بلوک اول با تقسیم این بلوک به تعدادی المان افقی انجام می گیرد [۳].

۴-۳- روند بهینه سازی مکانیسم لغزش

با ایجاد تغییرات لازم در روند بهینه سازی مکانیسم لغزش، متغیر u وارد روند بهینه سازی شده است. بدین ترتیب، با تغییر متغیرهای معرف مکانیسم گسیختگی به صورت تک توک و یا همزمان با یکدیگر، کمترین ضربی اطمینان مربوط به بحرانی ترین مکانیسم لغزش محاسبه می شود [۱].

۴-۴- کنترل های لازم

با مشخص شدن هندسه تمامی بلوکها و مختصات گره ها، شرط واقع نشدن نقطه A در محدوده زیر پی کنترل می شود. در صورتی که این نقطه زیر شالوده قرار نداشته باشد، مکانیسم تشکیل شده قابل قبول بوده و برنامه، مساحت ها و احجام مورد نظر را محاسبه و ضربی اطمینان مربوطه را به دست می آورد. در غیر این صورت، با افزایش u و یا کاهش زاویه شکستگی صفحات جانبی، مکانیسم جدیدی تعریف و مراحل قبل تکرار می شود.

ذکر این نکته لازم است که این الگوریتم برای بررسی پایداری شیروانی های گوشیدار نیز تهیه و استفاده شده است.

۵- مقایسه نتایج تحقیق حاضر با نتایج سایر محققان

با توجه به محدودیت پژوهش های قبلی در این زمینه و عدم دسترسی به روشهای برای تحلیل پایداری اینگونه شیروانی ها در حالت کلی، امکان مقایسه کامل نتایج تحقیق حاضر با نتایج تحقیقات سایر محققان وجود ندارد. بنابراین نتایج در حالات خاص مقایسه شده اند.

اگر چه الگوریتم تدوین شده در این تحقیق، روشهای سه بعدی

در این حالت، استفاده از الگوریتم اولیه برنامه TRASS بدین معناست که در هر مرحله از روند بهینه سازی و با تشکیل هر مکانیسم گسیختگی، برنامه بتواند بلوک های تشکیل دهنده مکانیسم را به سه گروه مذکور تقسیم و برای هر بلوک با توجه به نوع آن، مساحت ها، احجام و دیگر پارامترهای مورد نیاز را محاسبه کند. این امر با توجه به عدم محدودیت تعداد بلوک ها در برنامه TRASS، نحوه بهینه سازی در این برنامه و طولانی بودن محاسبات عددی لازم برای تعیین پارامترهای ذکر شده در بلوک های نوع ۱ و ۲، سبب افزایش زمان تحلیل برنامه و کاهش نسبی دقت محاسبات می شود. بنابراین با اعمال تغییرات لازم، این الگوریتم تعمیم داده شده است.

تغییرات ایجاد شده در الگوریتم اولیه برنامه TRASS برای تعیین کاربرد آن برای تحلیل پایداری شیروانی های قوس دار در پلان را می توان در چهار بخش خلاصه کرد [۳] :

۴-۱- نحوه تشکیل مکانیسم لغزش

همان طور که در شکل (۳) نشان داده شده است، الگوریتم تدوین شده با در نظر گرفتن هندسه شیروانی مورد نظر، مکانیسم هایی را تشکیل می دهد که در آنها تنها نزدیک ترین بلوک به سطح شیروانی تحت تاثیر هندسه شیروانی قرار گرفته و از حالت پنج و یا شش وجهی که شکل مورد استفاده برای بلوک ها در برنامه TRASS می باشد، خارج شود (بلوک شماره صفر). در نتیجه، تنها دو نوع بلوک در مکانیسم استفاده شده وجود خواهد داشت:

۱- بلوک مجاور دامنه شیروانی که تحت تاثیر هندسه شیروانی قرار می گیرد.

۲- سایر بلوک ها که در فاصله بیشتری از دامنه شیروانی قرار دارند و محاسبات مربوط به آنها طبق روال قبلی برنامه TRASS امکان پذیر است.

در این روش، متغیری به نام u در روند تشکیل مکانیسم وارد شده است. با توجه به مقدار u و هندسه شیروانی، پهنانی مکانیسم گسیختگی همواره به نحوی تعیین می شود که نقطه D بر روی فصل مشترک سطح تشکیل دهنده رویه شیروانی و سطح افقی بالادست قرار گیرد.

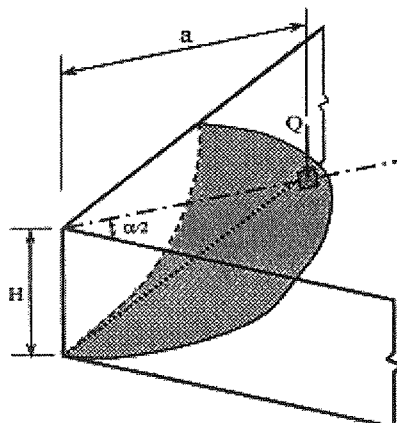
برای تشکیل مکانیسم گسیختگی، با تعیین مختصات y و z نقاط A, B, C, D, E و F (گره های مرزی) و زوایای α , β و γ توسط کاربر و یا برنامه، مختصات y و z تمامی گره ها محاسبه می شود. روند محاسبات از بالادست، یعنی زیر پی شروع شده و به سمت پایین شیروانی ادامه می یابد. سپس با در نظر گرفتن زوایای صفحات جانبی بلوک ها (۵) و با توجه به این نکته که نقطه D باید بر روی لبه شیروانی واقع شود،

متمرکز (شکل ۴) و با استفاده از روش تحلیل حدی مرز بالا بررسی و با تحلیل گوشه‌های با زوایای مختلف، نمودارهایی را در این زمینه ارائه کرده اند [۵]. پارامترهای بی بعد استفاده شده در نتایج ایشان با توجه به روابط (۷) تا (۹) تعریف می‌شوند:

$$N_H = \frac{\gamma H}{c} \quad (7)$$

$$N_S = \frac{Q}{H^2 \cdot c} \quad (8)$$

$$n = \frac{a}{H} \quad (9)$$



شکل (۴): شیروانی قائم گوشه دار در تحقیقات گیگر و کریزک [۵]

برای مقایسه نتایج، تحلیل‌هایی بر اساس الگوریتم حاضر و با درنظر گرفتن شعاع انحنای زیاد (شیروانی خطی) به منظور تعیین عدد پایداری شیروانی‌های تحت اثر بار متمرکز انجام شده است. در شکل (۵)، اعداد پایداری (N_s) شیروانی‌های قائم با زاویه گوشه 180° درجه برای مقادیر مختلف N_H و n و $\phi = 0^\circ$ حاصل از تحقیقات گیگر و کریزک با نتایج حاصل از تحقیق حاضر و نیز نتایج برنامه TRASS مقایسه شده‌اند.

نتایج تحلیل‌ها مطابقت خوبی با یکدیگر دارند. ملاحظه می‌شود که الگوریتم تدوین شده عدد پایداری کمتری را نسبت به نتایج تحقیقات گیگر و کریزک به دست می‌دهد که با توجه به مرز بالا بودن پاسخ‌های حاصل از این تحقیق، می‌توان گفت که این جواب‌ها به جواب درست مسأله نزدیک ترند.

در شکل (۶) نتایج تحلیل حاضر با نتایج تحلیل‌های سه بعدی یوگای (Ugai) و لشینسکی (Leshchinsky) [۱۰] و نیز برنامه TRASS، در خاک‌های چسبنده؛ که به ترتیب در سال‌های ۱۹۸۵، ۱۹۸۶ و ۲۰۰۳ ارائه شده‌اند [۱۰]، [۱۱]، برای حالت شبیه قائم با یکدیگر مقایسه شده است. در این نمودار، نسبت ضریب اطمینان حاصل از تحلیل سه‌بعدی به تحلیل دو‌بعدی

را برای تحلیل پایداری شیروانی‌های قوس‌دار ارائه کرده است؛ لیکن یکی از راه‌های بررسی صحت آن، مقایسه نتایج حاصل از این الگوریتم در حالت خاص دو‌بعدی با نتایج سایر تحلیل‌های دو‌بعدی موجود است. در زمینه تحلیل سه‌بعدی پایداری شیروانی‌های غیر خطی، نتایج تحلیل‌های گیگر و کریزک در حالت خاص شیروانی‌های گوشه دار قائم تنها نتایج قابل استناد برای مقایسه است. علاوه بر مورد فوق، می‌توان این الگوریتم را با مقایسه نتایج در حالت خاص شعاع انحنای بسیار زیاد؛ که نظری تحلیل سه‌بعدی شیروانی‌های خطی است، آزمود.

۵- مقایسه نتایج در حالت دو‌بعدی

با افزایش پهنای مکانیسم گسیختگی و بزرگ‌تر شدن این پهنا نسبت به سایر ابعاد، مسأله به شرایط دو‌بعدی نزدیک می‌شود. این شرایط در تحقیق حاضر با انتخاب شعاع قوس بسیار بزرگ و عدم محدودسازی پهنای مکانیسم ایجاد می‌شود.

از آنجا که الگوریتم استفاده شده بر اساس روش تحلیل حدی مرز بالاست، ترجیح داده شده است تا نتایج حاصل از آن با نتایج تحقیقات چن (Chen W.F.; 1975) که آن نیز بر اساس روش تحلیل حدی مرز بالا صورت پذیرفته مقایسه شود. چن با فرض سطح گسیختگی به شکل اسپیرال لگاریتمی، عدد پایداری ($N_s = \frac{\gamma \cdot H_c}{C}$) شیروانی‌های مختلف را محاسبه کرده است. در این رابطه H_c ارتفاع بحرانی شب است.

در جدول (۱) مقایسه میان اعداد پایداری حاصل از الگوریتم حاضر و تحقیقات چن ارائه شده است. ملاحظه می‌شود که اختلاف جواب‌ها، ناقیز بوده و حداقل به ۵٪ می‌رسد. شایان ذکر است که در مورد شیروانی‌های قائم، تطابق جواب‌ها بیشتر بوده و حداقل اختلاف‌ها به ۱٪ محدود می‌شود.

جدول (۱): مقایسه اعداد پایداری حاصل از تحقیقات چن و تحقیق حاضر

β (درجه)	۲۰			۶۰			۹۰		
	ϕ (درجه)	چن	تحقیق حاضر	چن	تحقیق حاضر	چن	تحقیق حاضر	چن	تحقیق حاضر
۰	۵/۵۳	۵/۸۲	۵/۲۸	۵/۴۱	۲/۸۳	۳/۸۷			
۱۰	۱۲/۵۰	۱۳/۸۲	۷/۲۶	۷/۳۹	۴/۵۸	۴/۶۲			
۲۰	۴۱/۲۲	۴۱/۵۵	۱۰/۳۹	۱۰/۶۴	۵/۵۰	۵/۵۶			
۳۰	-	-	۱۶/۱۴	۱۶/۴۵	۶/۶۹	۶/۷۲			

۵- مقایسه نتایج در حالت سه‌بعدی
گیگر و کریزک (Giger & Krizek) در سال‌های ۱۹۷۵ و ۱۹۷۶ پایداری شیروانی‌های قائم گوشه‌دار را تحت اثر بار

روابط (۱۰) و (۱۱) تعریف شده‌اند:

$$N_s = \frac{\gamma H F_s}{c} \quad (10)$$

$$\lambda_{\phi c} = \frac{\gamma H}{c} \tan \phi \quad (11)$$

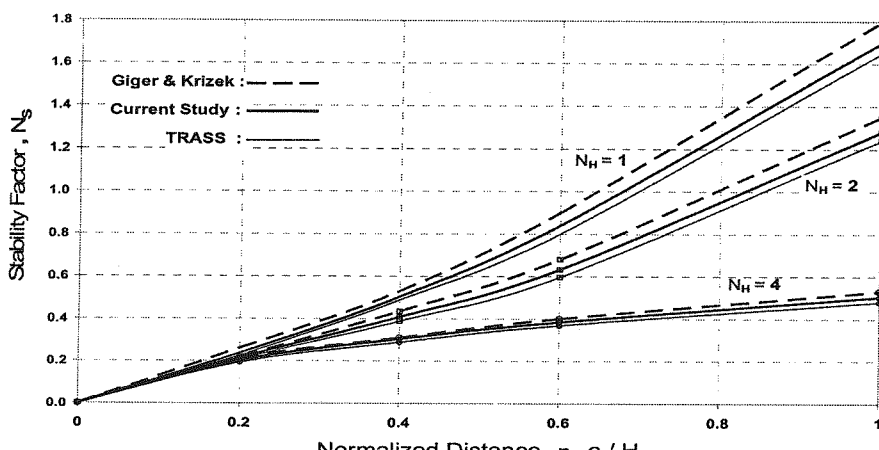
این نتایج برای شبکهای 30° و 90° درجه، مقادیر γ برابر، 1 و 10 و شیروانی‌های با شعاع‌های مختلف محاسبه و در شکل های (۸) تا (۱۲) نشان داده شده‌اند. مقدار ضریب پایداری در حالت دو بعدی $N_{s(2D)}$ در جدول (۲) ارائه شده است.

در این نمودارها، d پهنه‌ای مکانیسم لغزش، H ارتفاع شیروانی، α زاویه گوشش شیروانی و N_{3D}/N_{2D} نسبت عدد پایداری حاصل از تحلیل سه بعدی به عدد پایداری حاصل از تحلیل دو بعدی است. مکانیسم لغزش استفاده شده در تحلیل‌ها و پارامترهای مذکور در شکل (۷) نشان داده شده است.

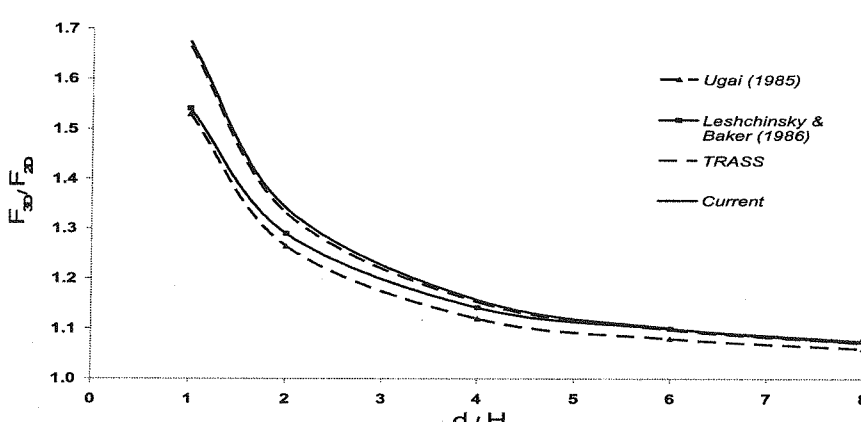
برای مکانیسم‌های با پهنه‌های مختلف رسم شده است. در این شکل، d پهنه‌ای مکانیسم گسیختگی و H ارتفاع شیروانی است. اختلاف ناچیز میان نتایج الگوریتم حاضر و برنامه TRASS ناشی از تفاوت روش‌های بهینه‌سازی است. این مقایسه که برای شبکهای قائم صورت گرفته است، بیانگر هماهنگی نسبتاً خوب جواب‌های حاصل از تحقیق حاضر و برنامه TRASS با نتایج روش لشینسکی می‌باشد. یادآوری می‌شود که روش‌های استفاده شده در تحلیل‌های یوگایی و لشینسکی از نوع تعادل حدی می‌باشند.

۶- نتایج تحلیل‌های عددی

در این بخش، نتایج تحلیل پایداری شیروانی‌های قوس دار تحت اثر وزن توده خاک، با درنظرگرفتن مکانیسم گسیختگی نشان داده شده در شکل (۷)، به صورت نمودارهای پایداری ارائه شده است. پارامترهای استفاده شده (N_s و $\lambda_{\phi c}$) طبق



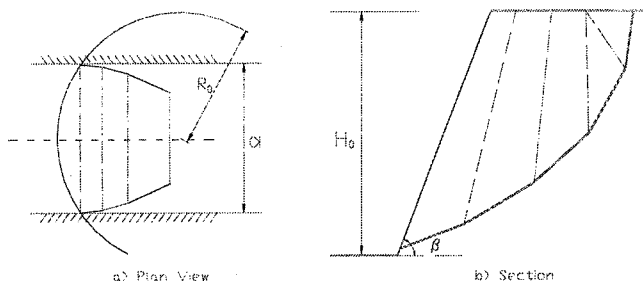
شکل (۵): مقایسه نتایج تحقیق حاضر با نتایج تحلیل‌های سه‌بعدی گیگر و کریزک و TRASS برای شبکهای قائم خطی



شکل (۶): مقایسه نتایج تحقیق حاضر با نتایج تحلیل‌های سه‌بعدی یوگایی، لشینسکی و TRASS برای شبکهای قائم در خاک‌های چسبنده قوس‌دار، همواره عدد پایداری و به عبارتی ضریب اطمینان بیشتری را نسبت به نتایج تحلیل‌های دو بعدی نشان می‌دهند. با بررسی نمودارهای ارائه شده، ملاحظه می‌شود:

- نتایج تحلیل‌های سه‌بعدی پایداری شیروانی‌های

N_{2D}	$\beta=30$	$\beta=90$
$\lambda_{\phi C} = 0$	9.02	4.01
$\lambda_{\phi C} = 1$	12.8	4.36
$\lambda_{\phi C} = 10$	40.7	12.13

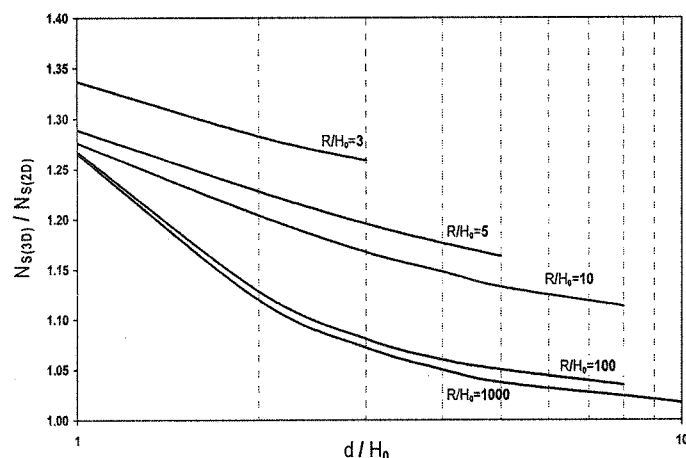


شکل (۷): فرضیات مکانیسم گسیختگی برای انجام تحلیلهای عددی

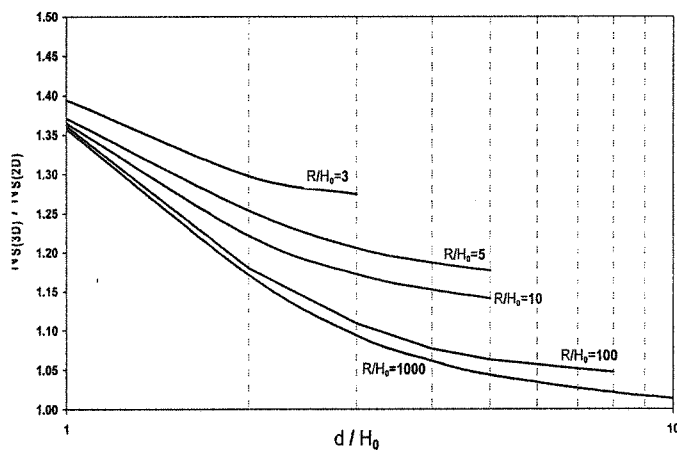
این اختلاف در موارد در نظر گرفته شده حداقل به ۹٪ می‌رسد.

- با کاهش $\lambda_{\phi C}$ ، اثر قوس دار بودن شیروانی بر عدد پایداری افزایش می‌یابد. به عبارت دیگر، در خاک‌های چسبنده این اثر بیشتر است.

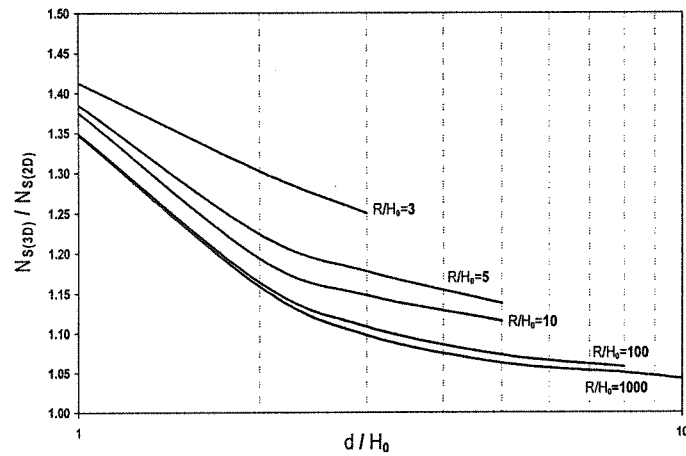
- در شیروانی‌های با شیب کمتر، اثر قوس‌دار بودن شیروانی بیشتر است.



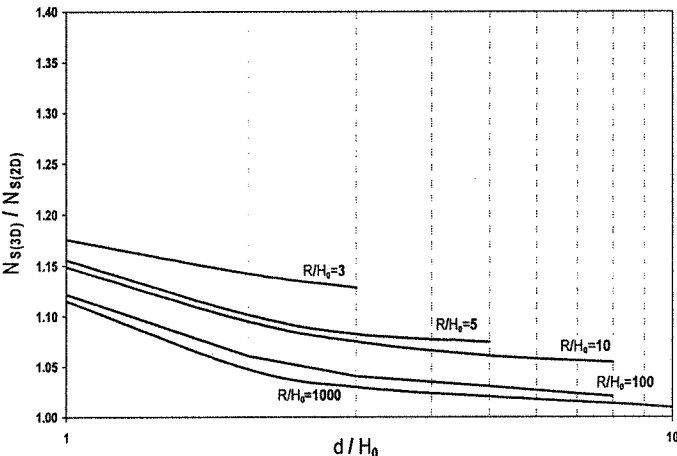
شکل (۸): تغییرات نسبت اعداد پایداری در حالت سه‌بعدی به دو بعدی برای شیروانی قوس دار با شیب $\beta = 30^\circ$ و $\lambda_{\phi C} = 1$



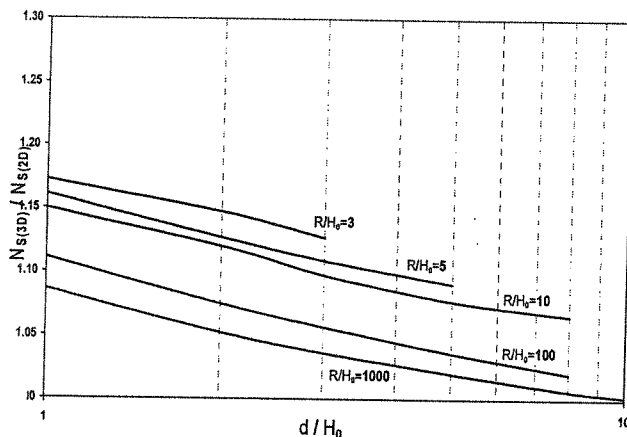
شکل (۹): تغییرات نسبت اعداد پایداری در حالت سه‌بعدی به دو بعدی برای شیروانی قوس دار با شیب $\beta = 30^\circ$ و $\lambda_{\phi C} = 0$



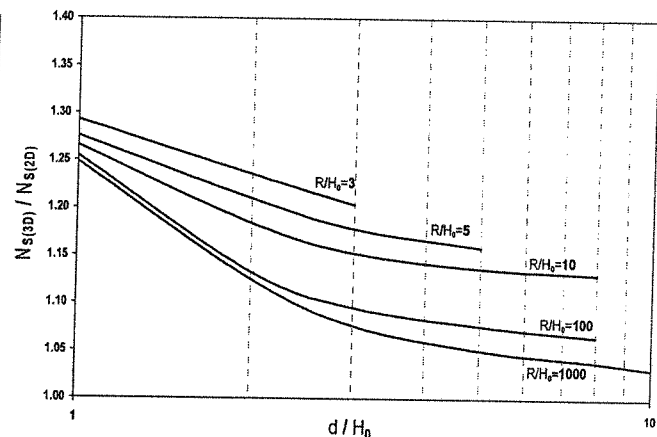
شکل (۱۰): تغییرات نسبت اعداد پایداری در حالت سه‌بعدی به دو بعدی برای شیروانی قوس دار با شیب $\beta = 90^\circ$ و $\lambda_{\phi C} = 0$



شکل (۱۱): تغییرات نسبت اعداد پایداری در حالت سه‌بعدی به دو بعدی برای شیروانی قوس دار با شیب $\beta = 90^\circ$ و $\lambda_{\phi C} = 10$



شکل (۱۳): تغییرات نسبت اعداد پایداری در حالت سه بعدی به دو بعدی برای شیروانی قوس دار با شیب $\beta = 90^\circ$ و $\lambda_{\Phi C} = 10$



شکل (۱۲): تغییرات نسبت اعداد پایداری در حالت سه بعدی به دو بعدی برای شیروانی قوس دار با شیب $\beta = 90^\circ$ و $\lambda_{\Phi C} = 1$

۷- نتیجه گیری

در مقاله حاضر، الگوریتمی بر مبنای روش مرز بالای آنالیز حدی برای تحلیل سه بعدی پایداری شیروانی های قوس دار در پلان ارائه شده است. این الگوریتم با مدل کردن توده های لغزش به صورت بلوک های چندوجهی و بهینه سازی آنها، حداقل ضریب ایمنی پایداری شیروانی های قوس دار و یا ظرفیت برابری پی های واقع بر اینگونه شیروانی ها را محاسبه می کند.

برای محاسبه ضریب اطمینان پایداری شیروانی های قوس دار در پلان، نمودارهایی مبتنی بر پارامترهای بی بعد تهیه شده است. این نمودارها برای تعیین مرز بالای ضریب اطمینان پایداری شیروانی های واقع در انواع خاک ها (برای زوایای شیب و شعاع انحنای های مختلف) ارائه شده است. نتایج به دست آمده حاکی از آن است که ضرایب اطمینان حاصل از تحلیل سه بعدی پایداری شیروانی های محدب همواره بیشتر از ضرایب اطمینان حاصل از تحلیل های دو بعدی است. این اثر افزایشی با افزایش چسبندگی خاک و یا کاهش زوایای شیب شیروانی، بیشتر می شود.

۸- مراجع

[۱] عسکری، فرج الله؛ "تحلیل سه بعدی پایداری شیروانی های همگن و ناهمگن در حالات استاتیکی و دینامیکی به روش آنالیز حدی"، رساله دکتری، دانشکده فنی دانشگاه تهران، ۱۳۷۸

[۲] نخعی، جواد؛ "تأثیر فشار آب حفره ای بر پایداری شیروانی ها در تحلیل سه بعدی به روش آنالیز حدی مرز بالا"، رساله

کارشناسی ارشد، دانشکده فنی دانشگاه تهران، ۱۳۸۱

[۳] گنجیان، نویه؛ "تحلیل سه بعدی پایداری شیروانی قوس دار در پلان به روش آنالیز حدی مرز بالا"، رساله کارشناسی ارشد، دانشکده فنی دانشگاه تهران، ۱۳۸۲.

[۴] Giger, M.W.; Krizek, R.J. ; "Stability analysis of vertical cut with variable corner angle.", Soils and Foundation, Tokyo, 15(2), 637, 1975.

[۵] Giger, M.W.; Krizek, R.J. ; "Stability analysis of vertical corner cut with concentrated surcharge load.", Journal of the Geotechnical Engineering, ASCE, 102(1), 31-40, 1976

[۶] Leshchinsky , D.; Baker, R. ; "Stability Analysis of Conical heaps.", Soils and Foundations, 27(4) , 99 110 , 1987.

[۷] Michalowski, R.L.; "Three dimensional analysis of locally loaded slopes.", Geotechnique, London, 39(1), 27-38, 1989.

[۸] Chen , W. F.; "Limit Analysis And Soil Plasticity!", Elsevier Science Publishing Company, Amesterdam, 1990.

[۹] Farzaneh, O. ; Askari, F.; "3D Analysis of Nonhomogeneous Slopes.", Journal of Geotechnical and Geoenviromental Engineering, ASCE, 129(2), 137-145, February 2003.

[۱۰] Ugai ,K.; "Threedimensional stability analysis of vertical cohesive slopes.", Soils and Foundations, 25(3), 41-48, 1985.

[۱۱] Leshchinsky, Dov ; Baker, R.; "Threedimensional slope stability.", Soils and Foundations, 26(4), 98 110, 1986